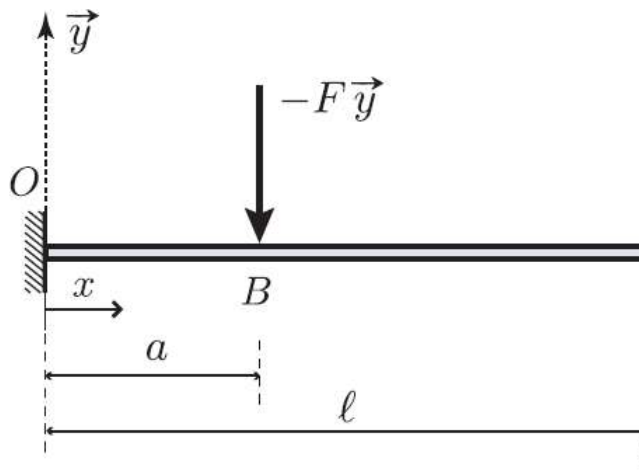
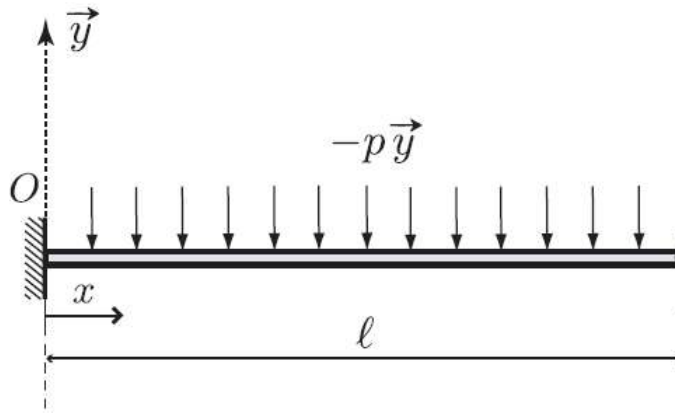


Équilibre de structures hyperstatiques

Structures **isostatiques** :

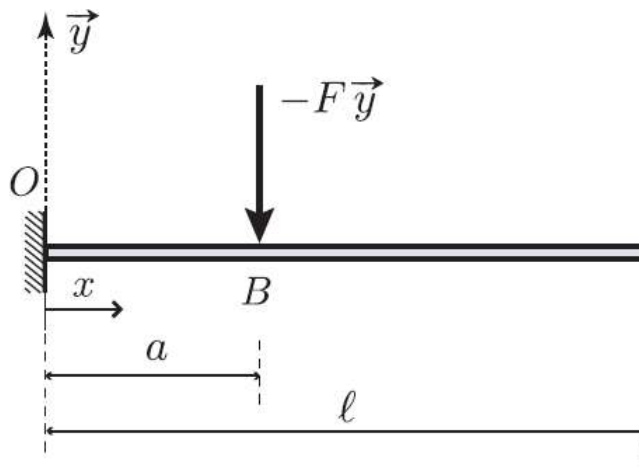
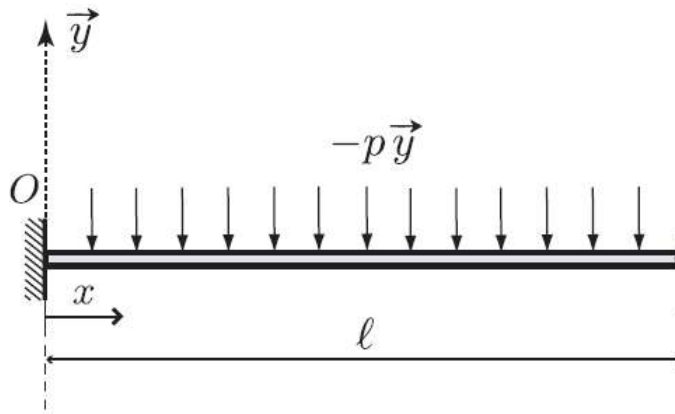
Le PFD suffit à déterminer toutes les inconnues de liaisons du mécanisme



Équilibre de structures hyperstatiques

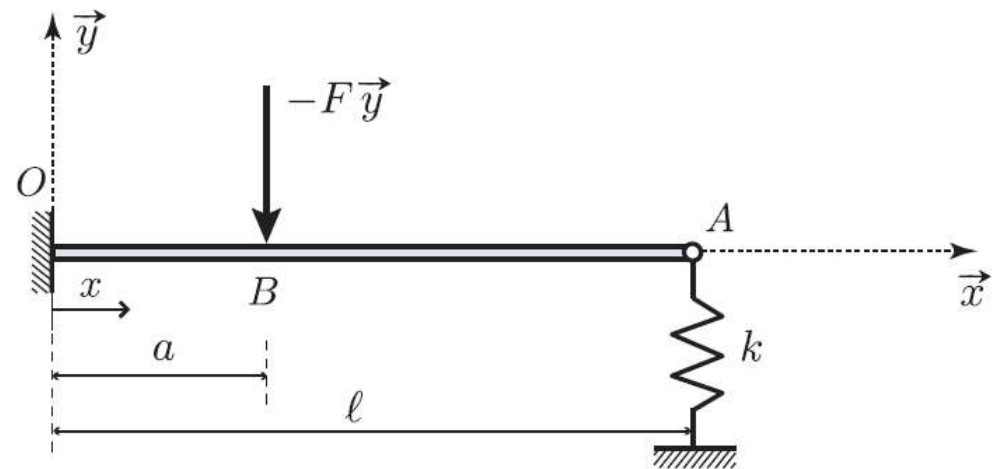
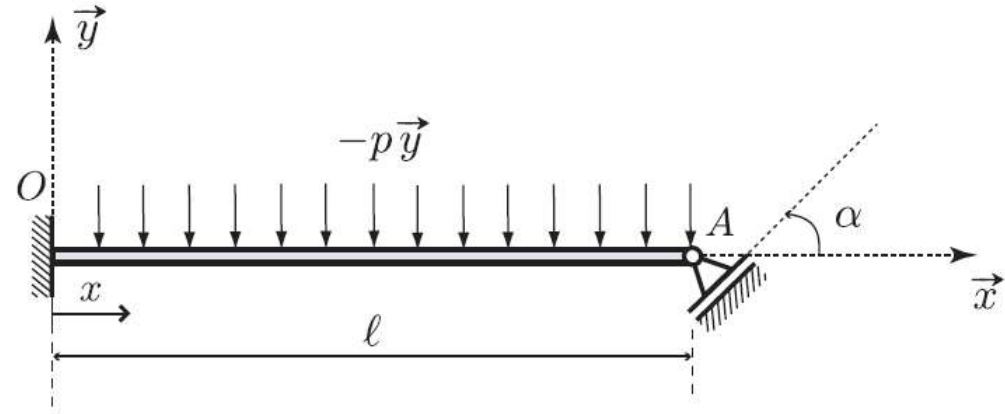
Structures **isostatiques** :

Le PFD suffit à déterminer toutes les inconnues de liaisons du mécanisme



Structure **hyperstatiques** :

Au moins un degré de liberté d'une pièce est supprimé plusieurs fois

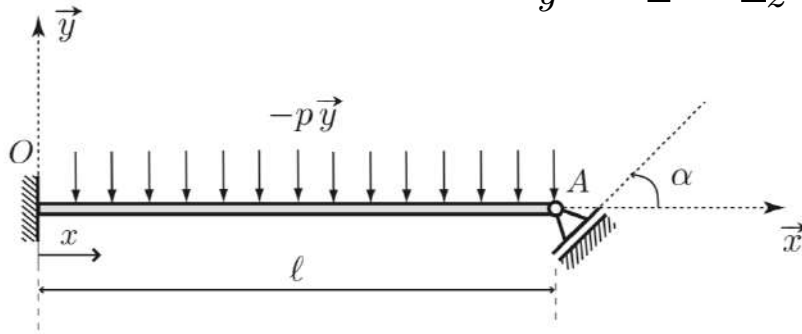


Choix de la base de Frenet :

Exo 1 :

$$ds = dx \quad \underline{t} = \underline{e}_x$$

$$\underline{n} = \underline{e}_y \quad \underline{b} = \underline{e}_z$$



Calcul fait en **2D** (mêmes résultats en 3D)

Degré d'hyperstaticité

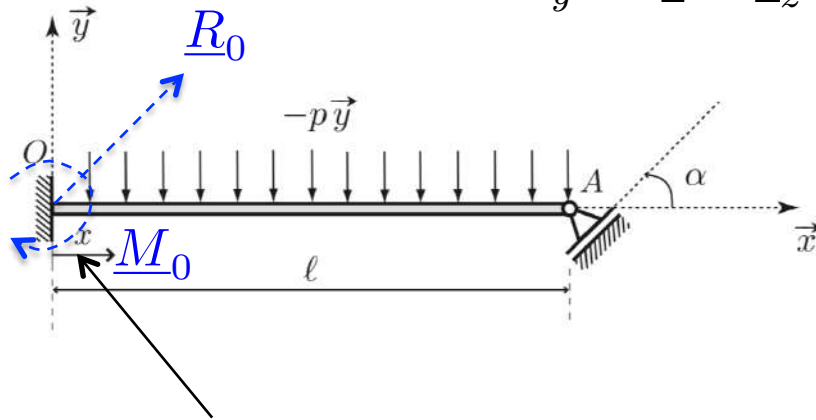
= nb de ddl bloqués - nb équations

ddl = degré de liberté

Choix de la base de Frenet :

Exo 1 :

$$\begin{aligned} ds &= dx & \underline{t} &= \underline{e}_x \\ \underline{n} &= \underline{e}_y & \underline{b} &= \underline{e}_z \end{aligned}$$



Calcul fait en **2D** (mêmes résultats en 3D)

Degré d'hyperstaticité

= nb de ddl bloqués - nb équations

ddl = degré de liberté

Encastrement en O :

- 2 translations et 1 rotation bloquées
 u_x, u_y, ω_z

- Réaction et moment inconnus

$$\underline{R}_O = X_O \underline{e}_x + Y_O \underline{e}_y$$

$$\underline{M}_O = M_O \underline{e}_z$$

Choix de la base de Frenet :

Exo 1 :

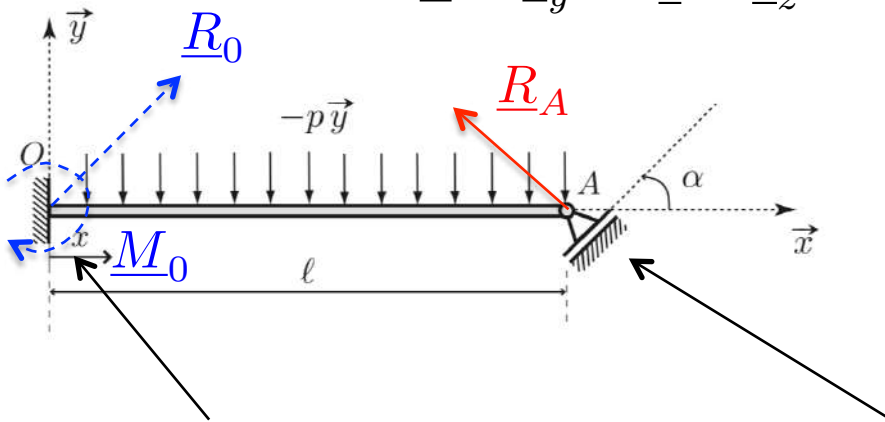
$$\begin{aligned} ds &= dx & \underline{t} &= \underline{e}_x \\ \underline{n} &= \underline{e}_y & \underline{b} &= \underline{e}_z \end{aligned}$$

Calcul fait en **2D** (mêmes résultats en 3D)

Degré d'hyperstaticité

= nb de ddl bloqués - nb équations

ddl = degré de liberté



Encastrement en O :

- 2 translations et 1 rotation bloquées
 u_x, u_y, ω_z

- Réaction et moment inconnus

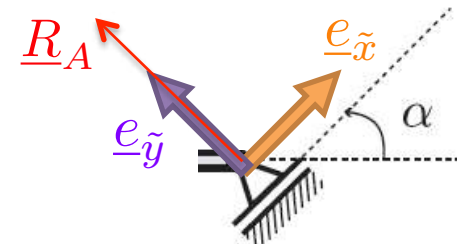
$$\underline{R}_O = X_O \underline{e}_x + Y_O \underline{e}_y$$

$$\underline{M}_O = M_O \underline{e}_z$$

Appui glissant en A :

- Déplacement suivant le plan incliné libre, déplacement normal bloqué, rotation libre
- Réaction partiellement connue (direction) et moment nul

$$\underline{R}_A = R_A \underline{e}_{\tilde{y}} = R_A (-\sin \alpha \underline{e}_x + \cos \alpha \underline{e}_y)$$



Choix de la base de Frenet :

Exo 1 :

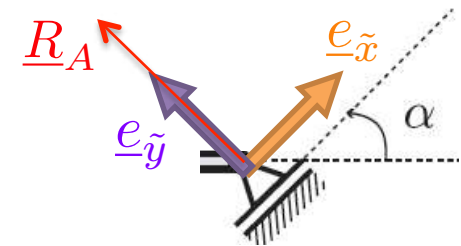
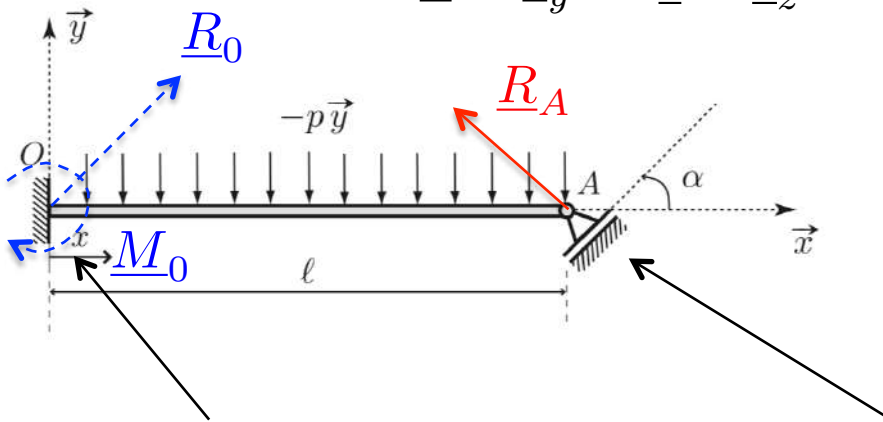
$$\begin{aligned} ds &= dx & \underline{t} &= \underline{e}_x \\ \underline{n} &= \underline{e}_y & \underline{b} &= \underline{e}_z \end{aligned}$$

Calcul fait en **2D** (mêmes résultats en 3D)

Degré d'hyperstaticité

= nb de ddl bloqués - nb équations

ddl = degré de liberté



Encastrement en O :

- 2 translations et 1 rotation bloquées
 u_x, u_y, ω_z

- Réaction et moment inconnus

$$\underline{R}_O = X_O \underline{e}_x + Y_O \underline{e}_y$$

$$\underline{M}_O = M_O \underline{e}_z$$

Appui glissant en A :

- Déplacement suivant le plan incliné libre, déplacement normal bloqué, rotation libre
- Réaction partiellement connue (direction) et moment nul

$$\underline{R}_A = R_A \underline{e}_{\tilde{y}} = R_A (-\sin \alpha \underline{e}_x + \cos \alpha \underline{e}_y)$$

- **Nb de ddl bloqués (= connus) : 4**

/ ou = nb de composantes des efforts de liaison - réactions ou moments- inconnues
(Rq : 7 en 3D avec Z_O en plus et les composantes du moment en O suivant \underline{e}_x et \underline{e}_y)

- 3 au niveau de l'encastrement, 2 déplacements une rotation / ou (X_O, Y_O, M_O)
- 1 au niveau de l'appui glissant, 1 déplacement normal / ou R_A

- **Équilibre global de la structure :**

Donne **3** équations scalaires en 2D (6 en 3D) :

- Équilibre translationnel (en efforts) suivant x et y
- Équilibre rotationnel (en moment) porté par z

- **Équilibre global de la structure :**

Donne **3** équations scalaires en 2D (6 en 3D) :

- Équilibre translationnel (en efforts) suivant x et y
- Équilibre rotationnel (en moment) porté par z

Au final : **Degré d'hyperstaticité = 4 - 3 = 1**

On choisit de libérer une inconnue hyperstatique : R_A

L'**équilibre global** (et donc les efforts de liaison) peut être entièrement réécrit en fonction de cette inconnue :

- **Équilibre global de la structure :**

Donne **3** équations scalaires en 2D (6 en 3D) :

- Équilibre translationnel (en efforts) suivant x et y
- Équilibre rotationnel (en moment) porté par z

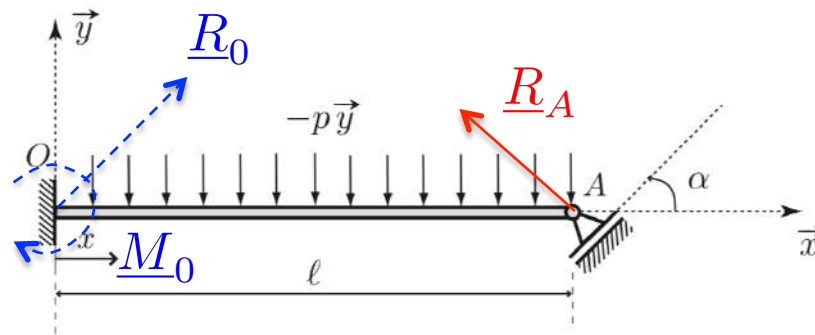
Au final : **Degré d'hyperstaticité = 4 - 3 = 1**

On choisit de libérer une inconnue hyperstatique : R_A

L'**équilibre global** (et donc les efforts de liaison) peut être entièrement réécrit en fonction de cette inconnue :

- En **efforts** : $\underline{R}_0 + \int_0^\ell (-p \underline{e}_y) dx + R_A (-\sin \alpha \underline{e}_x + \cos \alpha \underline{e}_y) = \underline{0}$

$$2 \text{ éq. } \begin{cases} \text{Sur } \underline{e}_x & 0 = X_O - R_A \sin \alpha \\ \text{Sur } \underline{e}_y & 0 = -p\ell + Y_O + R_A \cos \alpha \end{cases}$$



- **Équilibre global de la structure :**

Donne **3** équations scalaires en 2D (6 en 3D) :

- Équilibre translationnel (en efforts) suivant x et y
- Équilibre rotationnel (en moment) porté par z

Au final : **Degré d'hyperstaticité = 4 - 3 = 1**

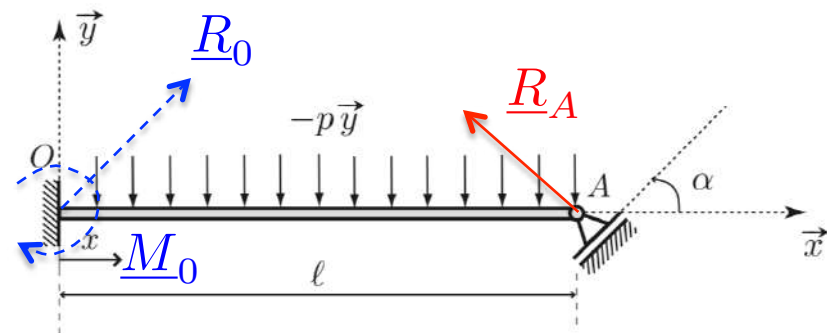
On choisit de libérer une inconnue hyperstatique : R_A

L'**équilibre global** (et donc les efforts de liaison) peut être entièrement réécrit en fonction de cette inconnue :

- En **moments** en O : $\underline{M}_O + \int_0^\ell x \underline{e}_x \wedge (-p \underline{e}_y) dx + \underline{OA} \wedge \underline{R}_A = \underline{0}$

$$\underline{M}_O - \frac{p\ell^2}{2} \underline{e}_z + \ell R_A \cos \alpha \underline{e}_z = \underline{0}$$

1 éq. Sur \underline{e}_z $M_O = \frac{p\ell^2}{2} - \ell R_A \cos \alpha$



- **Équilibre global de la structure :**

Donne **3** équations scalaires en 2D (6 en 3D) :

- Équilibre translationnel (en efforts) suivant x et y
- Équilibre rotationnel (en moment) porté par z

Au final : **Degré d'hyperstaticité = 4 - 3 = 1**

On choisit de libérer une inconnue hyperstatique : R_A

L'**équilibre global** (et donc les efforts de liaison) peut être entièrement réécrit en fonction de cette inconnue :

- En **efforts** : $\underline{R}_0 + \int_0^\ell (-p \underline{e}_y) dx + R_A (-\sin \alpha \underline{e}_x + \cos \alpha \underline{e}_y) = \underline{0}$
 2 éq. $\left\{ \begin{array}{l} \text{Sur } \underline{e}_x \quad 0 = X_O - R_A \sin \alpha \\ \text{Sur } \underline{e}_y \quad 0 = -p\ell + Y_O + R_A \cos \alpha \end{array} \right.$

- En **moments** en O : $\underline{M}_O + \int_0^\ell x \underline{e}_x \wedge (-p \underline{e}_y) dx + \underline{OA} \wedge \underline{R}_A = \underline{0}$

$$\underline{M}_O - \frac{p\ell^2}{2} \underline{e}_z + \ell R_A \cos \alpha \underline{e}_z = \underline{0}$$

1 éq. Sur \underline{e}_z $M_O = \frac{p\ell^2}{2} - \ell R_A \cos \alpha$

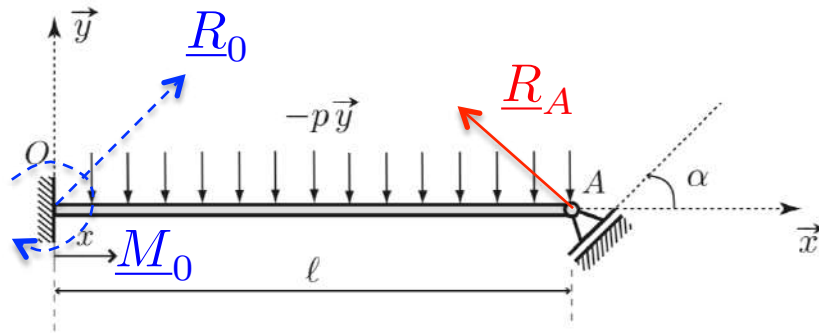
Au final :

$$\underline{R}_O = R_A \sin \alpha \underline{e}_x + (p\ell - R_A \cos \alpha) \underline{e}_y$$

$$\underline{M}_O = \left(\frac{p\ell^2}{2} - \ell R_A \cos \alpha \right) \underline{e}_z \quad [*]$$

$$\underline{R}_A = R_A (-\sin \alpha \underline{e}_x + \cos \alpha \underline{e}_y)$$

- **Équilibre local de la structure** (calcul des efforts de cohésion, rq ici y compris cpstes 3D)

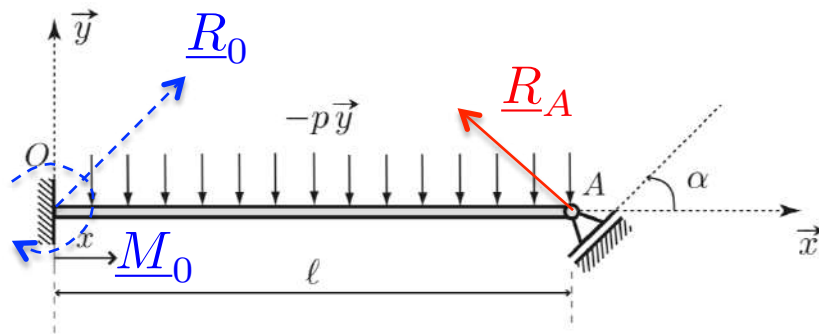


- *En efforts :*

$$\frac{d\underline{\mathcal{R}}}{dx} - p\underline{e}_y = 0 \quad \rightarrow \quad \frac{d\underline{\mathcal{R}}}{dx} = p\underline{e}_y$$

$$\underline{\mathcal{R}}(x) = px\underline{e}_y + \underline{c}_1$$

- **Équilibre local de la structure** (calcul des efforts de cohésion, rq ici y compris cpstes 3D)



- *En efforts :*

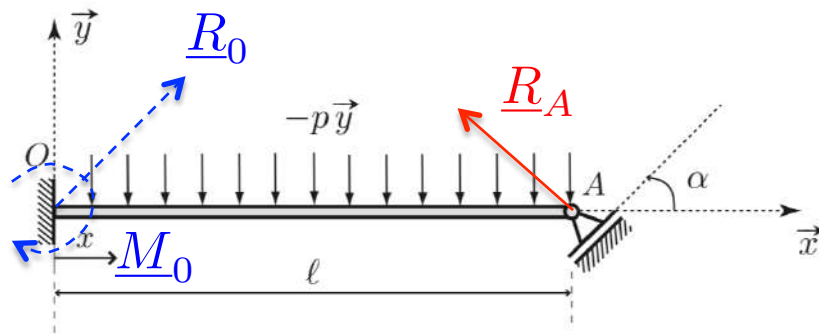
$$\frac{d\underline{\mathcal{R}}}{dx} - p\underline{e}_y = \underline{0} \quad \rightarrow \quad \frac{d\underline{\mathcal{R}}}{dx} = p\underline{e}_y$$

$$\underline{\mathcal{R}}(x) = px\underline{e}_y + \underline{c}_1$$

$$\text{CL : } \underline{\mathcal{R}}(0) = -\underline{R}_O \Rightarrow \underline{c}_1 = -R_A \sin \alpha \underline{e}_x - (p\ell - R_A \cos \alpha) \underline{e}_y$$

$$\underline{\mathcal{R}}(\ell) = \underline{R}_A \Rightarrow \text{vérifiée}$$

- **Équilibre local de la structure** (calcul des efforts de cohésion, rq ici y compris cpstes 3D)



- *En efforts :*

$$\frac{d\underline{\mathcal{R}}}{dx} - p\underline{e}_y = 0 \quad \rightarrow \quad \frac{d\underline{\mathcal{R}}}{dx} = p\underline{e}_y$$

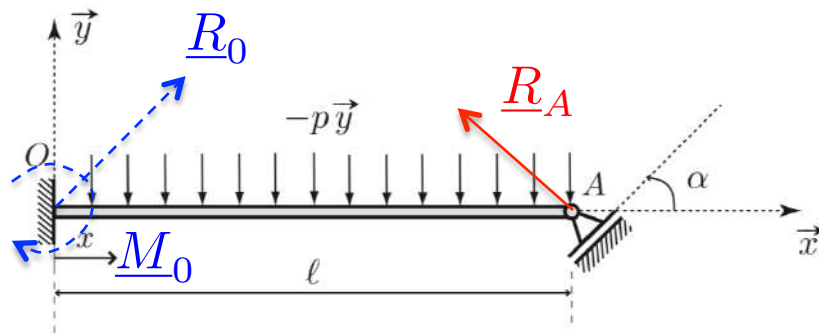
$$\underline{\mathcal{R}}(x) = px\underline{e}_y + \underline{c}_1$$

CL : $\underline{\mathcal{R}}(0) = -\underline{R}_O \Rightarrow \underline{c}_1 = -R_A \sin \alpha \underline{e}_x - (p\ell - R_A \cos \alpha) \underline{e}_y$

$\underline{\mathcal{R}}(\ell) = \underline{R}_A \Rightarrow$ vérifiée

$$\underline{\mathcal{R}}(x) \rightarrow \begin{cases} N(x) = -R_A \sin \alpha \\ T_y(x) = [p(x - \ell) + R_A \cos \alpha] \underline{e}_y \\ T_z(x) = 0 \end{cases}$$

- **Équilibre local de la structure** (calcul des efforts de cohésion, rq ici y compris cpstes 3D)



- *En efforts :*

$$\frac{d\mathcal{R}}{dx} - p\mathbf{e}_y = \mathbf{0} \quad \rightarrow \quad \frac{d\mathcal{R}}{dx} = p\mathbf{e}_y$$

$$\mathcal{R}(x) = px\mathbf{e}_y + \underline{c}_1$$

CL : $\mathcal{R}(0) = -\underline{R}_O \Rightarrow \underline{c}_1 = -R_A \sin \alpha \mathbf{e}_x - (p\ell - R_A \cos \alpha) \mathbf{e}_y$

$\mathcal{R}(\ell) = \underline{R}_A \Rightarrow$ vérifiée

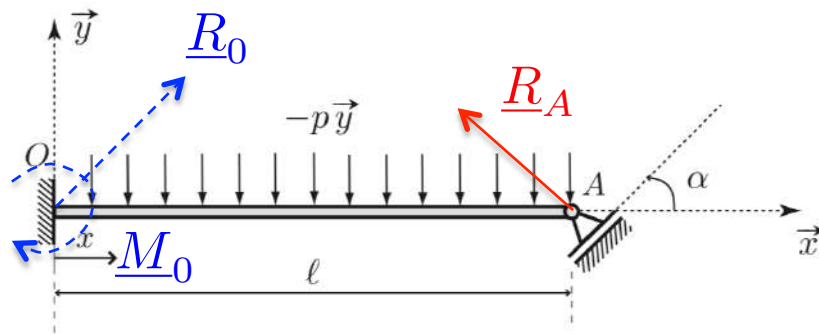
$$\mathcal{R}(x) \rightarrow \begin{cases} N(x) = -R_A \sin \alpha \\ T_y(x) = [p(x - \ell) + R_A \cos \alpha] \mathbf{e}_y \\ T_z(x) = 0 \end{cases}$$

- *En moments :*

$$\frac{d\mathcal{M}}{dx} + \mathbf{e}_x \wedge \mathcal{R} = \mathbf{0} \rightarrow \frac{d\mathcal{M}}{dx} = [-p(x - \ell) - R_A \cos \alpha] \mathbf{e}_z$$

$$\mathcal{M}(x) = \left[-p \left(\frac{x}{2} - \ell \right) - R_A \cos \alpha \right] x \mathbf{e}_z + \underline{k}_1$$

- **Équilibre local de la structure** (calcul des efforts de cohésion, rq ici y compris cpstes 3D)



- *En efforts :*

$$\frac{d\mathcal{R}}{dx} - p\mathbf{e}_y = \mathbf{0} \quad \rightarrow \quad \frac{d\mathcal{R}}{dx} = p\mathbf{e}_y$$

$$\mathcal{R}(x) = px\mathbf{e}_y + \underline{c}_1$$

CL : $\mathcal{R}(0) = -\underline{R}_O \Rightarrow \underline{c}_1 = -R_A \sin \alpha \mathbf{e}_x - (p\ell - R_A \cos \alpha) \mathbf{e}_y$

$\mathcal{R}(\ell) = \underline{R}_A \Rightarrow$ vérifiée

$$\mathcal{R}(x) \rightarrow \begin{cases} N(x) = -R_A \sin \alpha \\ T_y(x) = [p(x - \ell) + R_A \cos \alpha] \mathbf{e}_y \\ T_z(x) = 0 \end{cases} \quad [**]$$

- *En moments :*

$$\frac{d\mathcal{M}}{dx} + \mathbf{e}_x \wedge \mathcal{R} = \mathbf{0} \rightarrow \frac{d\mathcal{M}}{dx} = [-p(x - \ell) - R_A \cos \alpha] \mathbf{e}_z$$

$$\mathcal{M}(x) = \left[-p \left(\frac{x}{2} - \ell \right) - R_A \cos \alpha \right] x \mathbf{e}_z + \underline{k}_1$$

CL : $\mathcal{M}(0) = -\underline{M}_O \Rightarrow \underline{k}_1 = \left(\frac{p\ell^2}{2} - \ell R_A \cos \alpha \right) \mathbf{e}_z$

$\mathcal{M}(\ell) = \mathbf{0} \Rightarrow$ vérifiée

$$[**] \quad \mathcal{M}(x) = \left[-\frac{p}{2} (x - \ell)^2 - R_A (x - \ell) \cos \alpha \right] \mathbf{e}_z$$

Équations de **Timoshenko** pour les poutres droites
[cours !] :

Lois de comportement:



$$N(x) = ES \varepsilon_x(x) = ES \frac{du_x}{dx}(x)$$

$$T_y(x) = \mu S \varepsilon_y(x) = \mu S \left(\frac{du_y}{dx}(x) - \omega_z(x) \right)$$

$$T_z(x) = \mu S \varepsilon_z(x) = \mu S \left(\frac{du_z}{dx}(x) + \omega_y(x) \right)$$

$$M_y(x) = EI_{Gy} \gamma_y(x) = EI_{Gy} \frac{d\omega_y}{dx}(x)$$

$$M_z(x) = EI_{Gz} \gamma_z(x) = EI_{Gz} \frac{d\omega_z}{dx}(x)$$

$$M_t(x) = \mu I_G \gamma_x(x) = \mu I_G \frac{d\omega_x}{dx}(x)$$

$$[1] \quad -R_A \sin \alpha \underset{=N}{=} ES \frac{du_x}{dx}$$

$$[2]$$

$$p(x - \ell) + R_A \cos \alpha \underset{=T_y}{=} \mu S \left(\frac{du_y}{dx} - \omega_z \right)$$

$$[3] \quad 0 \underset{=T_z}{=} \mu S \left(\frac{du_z}{dx} + \omega_y \right)$$

$$[4] \quad 0 \underset{=M_t}{=} \mu I_G \frac{d\omega_x}{dx}$$

$$[5] \quad 0 \underset{=M_y}{=} EI_{Gy} \frac{d\omega_y}{dx}$$

$$[6]$$

$$-\frac{p}{2} (x - \ell)^2 - R_A (x - \ell) \cos \alpha \underset{=M_z}{=} EI_{Gz} \frac{d\omega_z}{dx}$$

Équations de **Timoshenko** pour les poutres droites
[cours !] :

Lois de comportement:



$$N(x) = ES \varepsilon_x(x) = ES \frac{du_x}{dx}(x)$$

$$T_y(x) = \mu S \varepsilon_y(x) = \mu S \left(\frac{du_y}{dx}(x) - \omega_z(x) \right)$$

$$T_z(x) = \mu S \varepsilon_z(x) = \mu S \left(\frac{du_z}{dx}(x) + \omega_y(x) \right)$$

$$M_y(x) = EI_{Gy} \gamma_y(x) = EI_{Gy} \frac{d\omega_y}{dx}(x)$$

$$M_z(x) = EI_{Gz} \gamma_z(x) = EI_{Gz} \frac{d\omega_z}{dx}(x)$$

$$M_t(x) = \mu I_G \gamma_x(x) = \mu I_G \frac{d\omega_x}{dx}(x)$$

Avec en plus
Euler Bernoulli :

$$[1] \quad -R_A \sin \alpha \underset{=N}{=} ES \frac{du_x}{dx}$$

$$[2] \quad 0 \underset{=T_y}{=} \mu S \left(\frac{du_y}{dx} - \omega_z \right)$$

$$\varepsilon_n(s) = \varepsilon_b(s) = 0$$

$$[3] \quad 0 \underset{=T_z}{=} \mu S \left(\frac{du_z}{dx} + \omega_y \right)$$

$$[4] \quad 0 \underset{=M_t}{=} \mu I_G \frac{d\omega_x}{dx}$$

$$[5] \quad 0 \underset{=M_y}{=} EI_{Gy} \frac{d\omega_y}{dx}$$

[6]

$$-\frac{p}{2} (x - \ell)^2 - R_A (x - \ell) \cos \alpha \underset{=M_z}{=} EI_{Gz} \frac{d\omega_z}{dx}$$

Équations [4], [5], [3] et [1] + CL encastrement : $(\omega_x(0) = \omega_y(0) = u_z(0) = u_x(0) = 0)$

$$\omega_x(x) = \omega_y(x) = 0, \quad u_z(x) = 0, \quad u_x(x) = -R_A x \sin \alpha / (ES)$$

$$0 \underset{=M_t}{=} \mu I_G \frac{d\omega_x}{dx}$$

$$0 \underset{=T_z}{=} \mu S \left(\frac{du_z}{dx} + \omega_y \right)$$

$$0 \underset{=M_y}{=} EI_{Gy} \frac{d\omega_y}{dx}$$

$$-R_A \sin \alpha \underset{=N}{=} ES \frac{du_x}{dx}$$

Équations [4], [5], [3] et [1] + CL encastrement : $(\omega_x(0) = \omega_y(0) = u_z(0) = u_x(0) = 0)$

$$\omega_x(x) = \omega_y(x) = 0, \quad u_z(x) = 0, \quad u_x(x) = -R_A x \sin \alpha / (ES)$$

En mettant l'équation [2] dans l'équations [6] :

$$EI_{Gz} \frac{d^2 u_y}{dx^2} = -\frac{p}{2} (x - \ell)^2 - R_A (x - \ell) \cos \alpha$$

Équations [4], [5], [3] et [1] + CL encastrement : $(\omega_x(0) = \omega_y(0) = u_z(0) = u_x(0) = 0)$

$$\omega_x(x) = \omega_y(x) = 0, \quad u_z(x) = 0, \quad u_x(x) = -R_A x \sin \alpha / (ES)$$

En mettant l'équation [2] dans l'équations [6] :

$$EI_{Gz} \frac{d^2 u_y}{dx^2} = -\frac{p}{2} (x - \ell)^2 - R_A (x - \ell) \cos \alpha$$

CL pour identif.
des cstes
d'intégration :
 $u_z(0) = 0$

$$\begin{aligned} \frac{d u_y}{dx}(x) &= -\frac{p}{6EI_{Gz}} \left[(x - \ell)^3 + \ell^3 \right] - \frac{R_A \cos \alpha}{2EI_{Gz}} \left[(x - \ell)^2 - \ell^2 \right] \\ &= -\frac{p}{6EI_{Gz}} \left[x^3 - 3x^2\ell + 3x\ell^2 \right] - \frac{R_A \cos \alpha}{2EI_{Gz}} \left[x^2 - 2x\ell \right] \end{aligned}$$

Équations [4], [5], [3] et [1] + CL encastrement : $(\omega_x(0) = \omega_y(0) = u_z(0) = u_x(0) = 0)$

$$\boxed{\omega_x(x) = \omega_y(x) = 0, \quad u_z(x) = 0, \quad u_x(x) = -R_A x \sin \alpha / (ES)}$$

En mettant l'équation [2] dans l'équations [6] :

$$EI_{Gz} \frac{d^2 u_y}{dx^2} = -\frac{p}{2} (x - \ell)^2 - R_A (x - \ell) \cos \alpha$$

CL pour identif.
des cstes
d'intégration :

$$u_z(0) = 0$$

$$\begin{aligned} \frac{d u_y}{dx}(x) &= -\frac{p}{6EI_{Gz}} [(x - \ell)^3 + \ell^3] - \frac{R_A \cos \alpha}{2EI_{Gz}} [(x - \ell)^2 - \ell^2] \\ &= -\frac{p}{6EI_{Gz}} [x^3 - 3x^2\ell + 3x\ell^2] - \frac{R_A \cos \alpha}{2EI_{Gz}} [x^2 - 2x\ell] \end{aligned}$$

$$u_y(0) = 0$$

$$u_y(x) = -\frac{p}{6EI_{Gz}} \left[\frac{x^4}{4} - x^3\ell + \frac{3x^2\ell^2}{2} \right] - \frac{R_A \cos \alpha}{2EI_{Gz}} \left[\frac{x^3}{3} - x^2\ell \right]$$

Équations [4], [5], [3] et [1] + CL encastrement : $(\omega_x(0) = \omega_y(0) = u_z(0) = u_x(0) = 0)$

$$\omega_x(x) = \omega_y(x) = 0, \quad u_z(x) = 0, \quad u_x(x) = -R_A x \sin \alpha / (ES)$$

En mettant l'équation [2] dans l'équations [6] :

$$EI_{Gz} \frac{d^2 u_y}{dx^2} = -\frac{p}{2} (x - \ell)^2 - R_A (x - \ell) \cos \alpha$$

CL pour identif.
des cstes
d'intégration :

$$u_z(0) = 0$$

$$\begin{aligned} \frac{d u_y}{dx}(x) &= -\frac{p}{6EI_{Gz}} [(x - \ell)^3 + \ell^3] - \frac{R_A \cos \alpha}{2EI_{Gz}} [(x - \ell)^2 - \ell^2] \\ &= -\frac{p}{6EI_{Gz}} [x^3 - 3x^2\ell + 3x\ell^2] - \frac{R_A \cos \alpha}{2EI_{Gz}} [x^2 - 2x\ell] \end{aligned}$$

$$u_y(0) = 0$$

$$u_y(x) = -\frac{p}{6EI_{Gz}} \left[\frac{x^4}{4} - x^3\ell + \frac{3x^2\ell^2}{2} \right] - \frac{R_A \cos \alpha}{2EI_{Gz}} \left[\frac{x^3}{3} - x^2\ell \right]$$

$$u_y(x) = -\frac{x^2}{24EI_{Gz}} [p(x^2 - 4x\ell + 6\ell^2) + 4R_A \cos \alpha(x - 3\ell)] \quad [***]$$

Liaisons supposées **parfaites** ➔ **Travail** des efforts de liaison **nul** :

$$R_A \underline{e}_{\tilde{y}} \cdot \underline{u}(x = \ell) = \textcolor{red}{R}_A (-\sin \alpha \underline{e}_x + \cos \alpha \underline{e}_y) \cdot (\textcolor{blue}{u}_x(\ell) \underline{e}_x + \textcolor{blue}{u}_y(\ell) \underline{e}_y) = 0$$

Liaisons supposées **parfaites** → **Travail** des efforts de liaison **nul** :

$$R_A \underline{e}_{\tilde{y}} \cdot \underline{u}(x = \ell) = R_A (-\sin \alpha \underline{e}_x + \cos \alpha \underline{e}_y) \cdot (u_x(\ell) \underline{e}_x + u_y(\ell) \underline{e}_y) = 0$$

$$\text{Comme } R_A \neq 0 \text{ a priori : } (-\sin \alpha \underline{e}_x + \cos \alpha \underline{e}_y) \cdot (u_x(\ell) \underline{e}_x + u_y(\ell) \underline{e}_y) = 0$$

$$\begin{pmatrix} -\sin \alpha \\ \cos \alpha \end{pmatrix} \cdot \underbrace{\begin{pmatrix} -\frac{R_A \ell \sin \alpha}{ES} \\ -\frac{\ell^2}{24EI_{Gz}} (3\ell^2 p - 8R_A \cos \alpha \ell) \end{pmatrix}}_{\begin{pmatrix} u_x(\ell) \\ u_y(\ell) \end{pmatrix}} = 0$$

Liaisons supposées **parfaites** → **Travail** des efforts de liaison **nul** :

$$R_A \underline{e}_{\tilde{y}} \cdot \underline{u}(x = \ell) = R_A (-\sin \alpha \underline{e}_x + \cos \alpha \underline{e}_y) \cdot (u_x(\ell) \underline{e}_x + u_y(\ell) \underline{e}_y) = 0$$

Comme $R_A \neq 0$ a priori : $(-\sin \alpha \underline{e}_x + \cos \alpha \underline{e}_y) \cdot (u_x(\ell) \underline{e}_x + u_y(\ell) \underline{e}_y) = 0$

$$\begin{pmatrix} -\sin \alpha \\ \cos \alpha \end{pmatrix} \cdot \underbrace{\begin{pmatrix} -\frac{R_A \ell \sin \alpha}{ES} \\ -\frac{\ell^2}{24EI_{Gz}} (3\ell^2 p - 8R_A \cos \alpha \ell) \end{pmatrix}}_{\begin{pmatrix} u_x(\ell) \\ u_y(\ell) \end{pmatrix}} = 0$$

$$R_A = \frac{3p\ell^3 S \cos \alpha}{24I \sin^2 \alpha + 8\ell^2 S \cos^2 \alpha}$$

À remplacer dans les équations :

- Des efforts de **liaison** [*] : \underline{R}_O , \underline{M}_O , \underline{R}_A
- Des efforts de **cohésion** [**] : $\underline{\mathcal{R}}$, $\underline{\mathcal{M}}$
- Des **déplacements** et **rotations** [***] : \underline{u} , $\underline{\omega}$

Liaisons supposées **parfaites** → **Travail** des efforts de liaison **nul** :

$$R_A \underline{e}_{\tilde{y}} \cdot \underline{u}(x = \ell) = R_A (-\sin \alpha \underline{e}_x + \cos \alpha \underline{e}_y) \cdot (\underline{u}_x(\ell) \underline{e}_x + \underline{u}_y(\ell) \underline{e}_y) = 0$$

$$\text{Comme } R_A \neq 0 \text{ a priori : } (-\sin \alpha \underline{e}_x + \cos \alpha \underline{e}_y) \cdot (\underline{u}_x(\ell) \underline{e}_x + \underline{u}_y(\ell) \underline{e}_y) = 0$$

$$\begin{pmatrix} -\sin \alpha \\ \cos \alpha \end{pmatrix} \cdot \underbrace{\begin{pmatrix} -\frac{R_A \ell \sin \alpha}{ES} \\ -\frac{\ell^2}{24EI_{Gz}} (3\ell^2 p - 8R_A \cos \alpha \ell) \end{pmatrix}}_{\begin{pmatrix} \underline{u}_x(\ell) \\ \underline{u}_y(\ell) \end{pmatrix}} = 0$$

$$R_A = \frac{3p\ell^3 S \cos \alpha}{24I \sin^2 \alpha + 8\ell^2 S \cos^2 \alpha}$$

À remplacer dans les équations :

- Des efforts de **liaison** [*] : $\underline{R}_O, \underline{M}_O, \underline{R}_A$
- Des efforts de **cohésion** [**] : $\underline{\mathcal{R}}, \underline{\mathcal{M}}$
- Des **déplacements** et **rotations** [***] : $\underline{u}, \underline{\omega}$

Remarque :

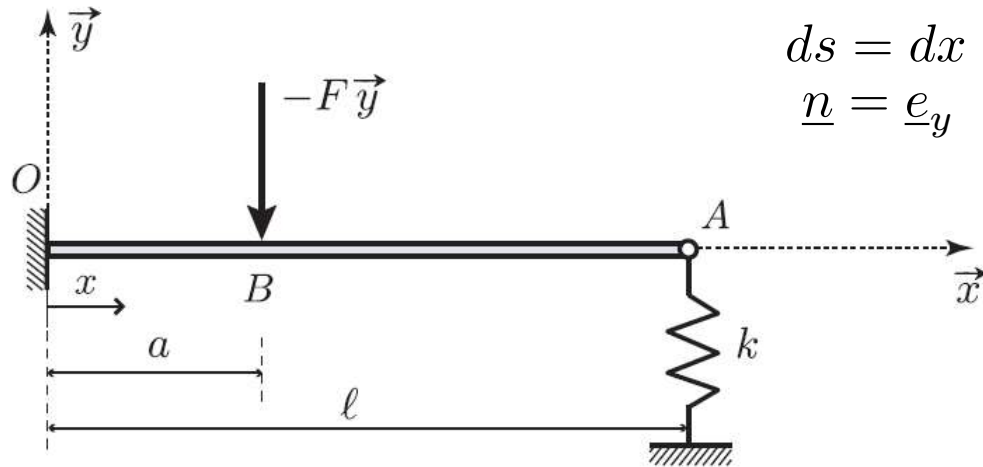
$$\underline{u}_x \propto \cos \alpha \sin \alpha$$

$$\underline{u}_x = 0 \text{ pour } \alpha = 0 \text{ et } \alpha = \pi/2$$

$$\underline{u}_y = 0$$

$$\text{pour } \alpha = 0 \text{ mais pas } \alpha = \pi/2$$

Exo 2 :

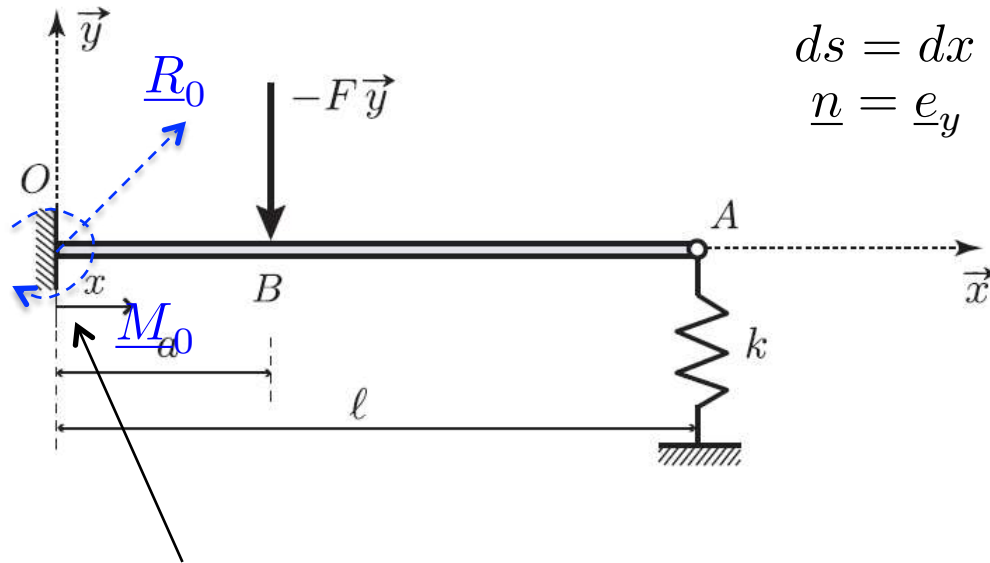


Choix de la base de Frenet :

$$\begin{aligned} ds &= dx & \underline{t} &= \underline{e}_x \\ \underline{n} &= \underline{e}_y & \underline{b} &= \underline{e}_z \end{aligned}$$

Calcul fait en **3D**
[mêmes résultats en 2D]

Exo 2 :



Choix de la base de Frenet :

$$\begin{aligned} ds &= dx & \underline{t} &= \underline{e}_x \\ \underline{n} &= \underline{e}_y & \underline{b} &= \underline{e}_z \end{aligned}$$

Calcul fait en **3D**
(mêmes résultats en 2D)

Encastrement en O :

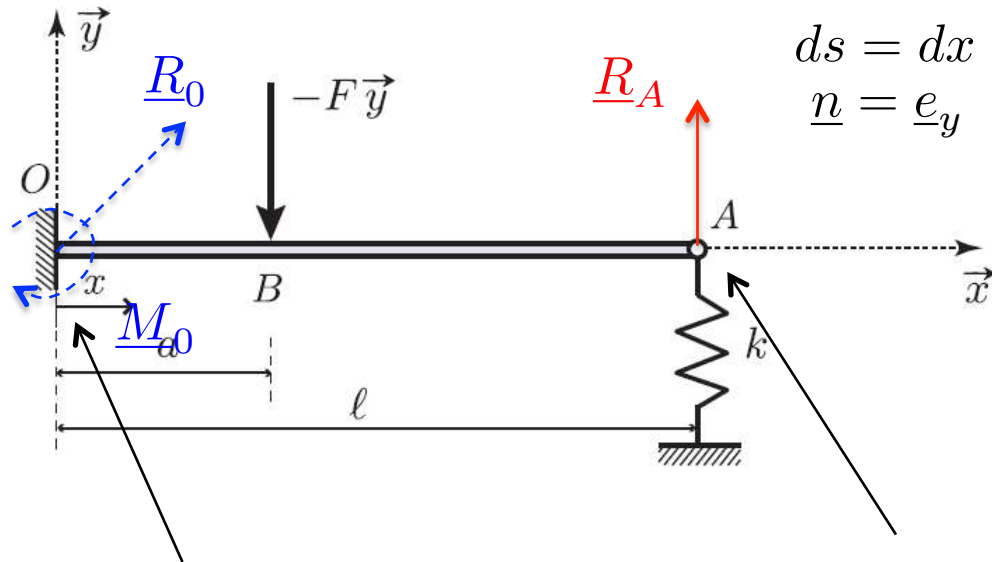
- 3 translations et 3 rotations bloquées
 $u_x, u_y, u_z, \omega_x, \omega_y, \omega_z$

- Réaction et moment inconnus

$$\underline{R}_O = X_O \underline{e}_x + Y_O \underline{e}_y + Z_O \underline{e}_z$$

$$\underline{M}_O = M_{Ox} \underline{e}_x + M_{Oy} \underline{e}_y + M_{Oz} \underline{e}_z$$

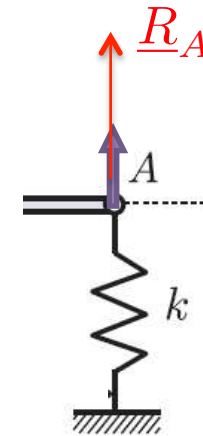
Exo 2 :



Choix de la base de Frenet :

$$\begin{aligned} ds &= dx & \underline{t} &= \underline{e}_x \\ \underline{n} &= \underline{e}_y & \underline{b} &= \underline{e}_z \end{aligned}$$

Calcul fait en **3D**
(mêmes résultats en 2D)



Encastrement en O :

- 3 translations et 3 rotations bloquées
 $u_x, u_y, u_z, \omega_x, \omega_y, \omega_z$
- Réaction et moment inconnus

$$\underline{R}_O = X_O \underline{e}_x + Y_O \underline{e}_y + Z_O \underline{e}_z$$

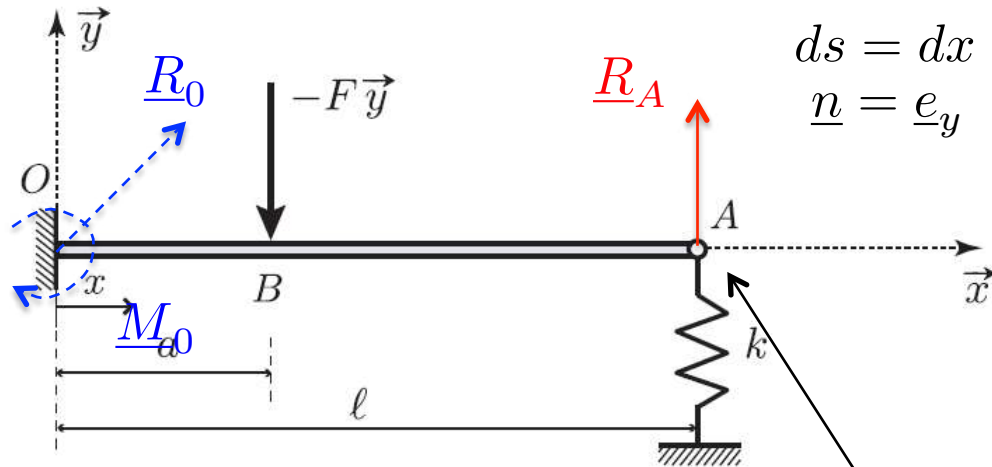
$$\underline{M}_O = M_{Ox} \underline{e}_x + M_{Oy} \underline{e}_y + M_{Oz} \underline{e}_z$$

Ressort linéaire en A :

- (Hypothèse pas de déplacement suivant x et z)
- Réaction partiellement connue (direction) et moment nul

$$\underline{R}_A = R_A \underline{e}_y = -k u_y(\ell) \underline{e}_y$$

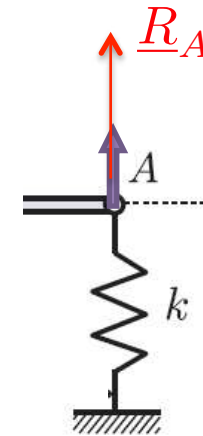
Exo 2 :



Choix de la base de Frenet :

$$\begin{aligned} ds &= dx & \underline{t} &= \underline{e}_x \\ \underline{n} &= \underline{e}_y & \underline{b} &= \underline{e}_z \end{aligned}$$

Calcul fait en **3D**
[mêmes résultats en 2D]



Encastrement en O :

- 3 translations et 3 rotations bloquées
 $u_x, u_y, u_z, \omega_x, \omega_y, \omega_z$
- Réaction et moment inconnus

$$\underline{R}_O = X_O \underline{e}_x + Y_O \underline{e}_y + Z_O \underline{e}_z$$

$$\underline{M}_O = M_{Ox} \underline{e}_x + M_{Oy} \underline{e}_y + M_{Oz} \underline{e}_z$$

Ressort linéaire en A :

- (Hypothèse pas de déplacement suivant x et z)
- Réaction partiellement connue (direction) et moment nul

$$\underline{R}_A = R_A \underline{e}_y = -k u_y(\ell) \underline{e}_y$$

- **Nb de ddl bloqués : 7** (Rq : 4 en 2D)

- 6 au niveau de l'encastrement, 3 déplacements 3 rotations / ou
 $(X_O, Y_O, Z_O, M_{Ox}, M_{Oy}, M_{Oz})$
- 1 au niveau du ressort, déplacement vertical, / ou R_A

- **Équilibre global de la structure :**

Donne **6** équations scalaires en 2D (3 en 2D) :

- Équilibre translationnel (en efforts) suivant x, y et z
- Équilibre rotationnel (en moment) porté par x, y et z

- **Équilibre global de la structure :**

Donne **6** équations scalaires en 2D (3 en 2D) :

- Équilibre translationnel (en efforts) suivant x, y et z
- Équilibre rotationnel (en moment) porté par x, y et z

Au final : **Degré d'hyperstaticité = 7 - 6 = 1**

On choisit de libérer une inconnue hyperstatique : R_A

L'équilibre global peut être entièrement réécrit en fonction de cette inconnue :

- **Équilibre global de la structure :**

Donne **6** équations scalaires en 2D (3 en 2D) :

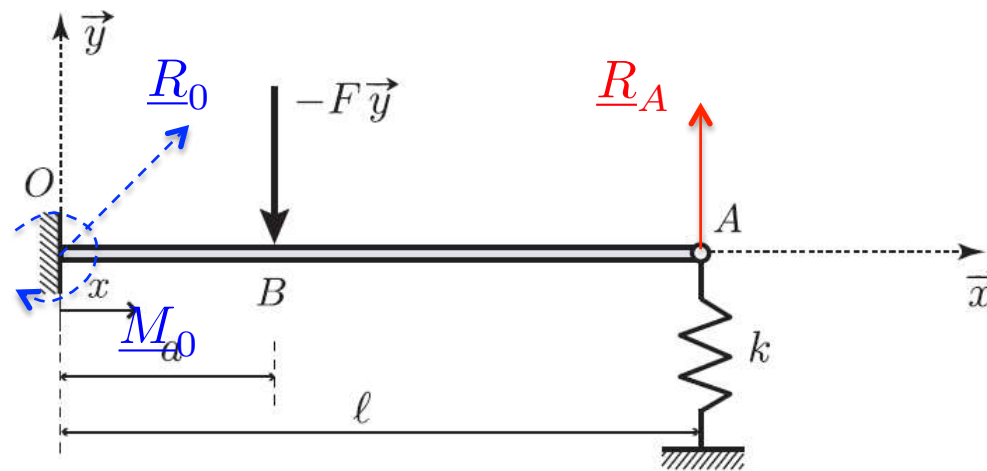
- Équilibre translationnel (en efforts) suivant x, y et z
- Équilibre rotationnel (en moment) porté par x, y et z

Au final : **Degré d'hyperstaticité = 7 - 6 = 1**

On choisit de libérer une inconnue hyperstatique : R_A

L'équilibre global peut être entièrement réécrit en fonction de cette inconnue :

- *En efforts :* $\underline{R}_O + \underline{F} + \underline{R}_A = \underline{0}$ 3 éq. $\left\{ \begin{array}{ll} \text{Sur } \underline{e}_x & X_O = 0 \\ \text{Sur } \underline{e}_y & Y_O + R_A - F = 0 \\ \text{Sur } \underline{e}_z & Z_O = 0 \end{array} \right.$



- **Équilibre global de la structure :**

Donne **6** équations scalaires en 2D (3 en 2D) :

- Équilibre translationnel (en efforts) suivant x, y et z
- Équilibre rotationnel (en moment) porté par x, y et z

Au final : **Degré d'hyperstaticité = 7 - 6 = 1**

On choisit de libérer une inconnue hyperstatique : R_A

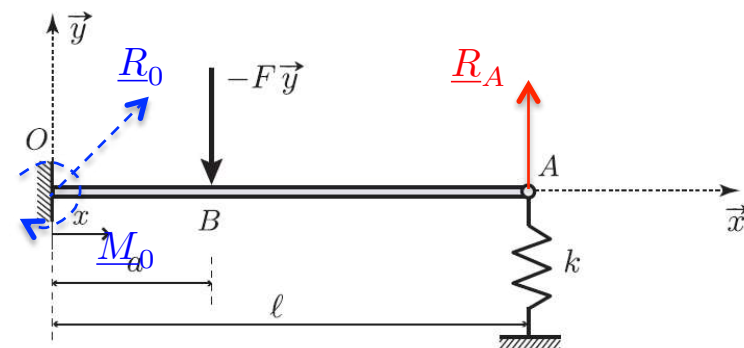
L'équilibre global peut être entièrement réécrit en fonction de cette inconnue :

- En **efforts** : $\underline{R}_O + \underline{F} + \underline{R}_A = \underline{0}$ 3 éq. $\left\{ \begin{array}{ll} \text{Sur } \underline{e}_x & X_O = 0 \\ \text{Sur } \underline{e}_y & Y_O + R_A - F = 0 \\ \text{Sur } \underline{e}_z & Z_O = 0 \end{array} \right.$

- En **moments** en O : $\underline{M}_O + \underline{OB} \wedge (-F\underline{e}_y) + \underline{OA} \wedge \underline{R}_A = \underline{0}$

$$\underline{M}_O - (aF - R_A \ell) \underline{e}_z = \underline{0}$$

$$3 \text{ éq. } \left\{ \begin{array}{ll} \text{Sur } \underline{e}_x & M_{Ox} = 0 \\ \text{Sur } \underline{e}_y & M_{Oy} = 0 \\ \text{Sur } \underline{e}_z & M_{Oz} = -aF + R_A \ell \end{array} \right.$$



- **Équilibre global de la structure :**

Donne **6** équations scalaires en 2D (3 en 2D) :

- Équilibre translationnel (en efforts) suivant x, y et z
- Équilibre rotationnel (en moment) porté par x, y et z

Au final : **Degré d'hyperstaticité = 7 - 6 = 1**

On choisit de libérer une inconnue hyperstatique : R_A

L'équilibre global peut être entièrement réécrit en fonction de cette inconnue :

- En **efforts** : $\underline{R}_O + \underline{F} + \underline{R}_A = \underline{0}$ 3 éq. $\left\{ \begin{array}{ll} \text{Sur } \underline{e}_x & X_O = 0 \\ \text{Sur } \underline{e}_y & Y_O + R_A - F = 0 \\ \text{Sur } \underline{e}_z & Z_O = 0 \end{array} \right.$

- En **moments** en O : $\underline{M}_O + \underline{OB} \wedge (-F\underline{e}_y) + \underline{OA} \wedge \underline{R}_A = \underline{0}$

$$\underline{M}_O - (aF - R_A \ell) \underline{e}_z = \underline{0}$$

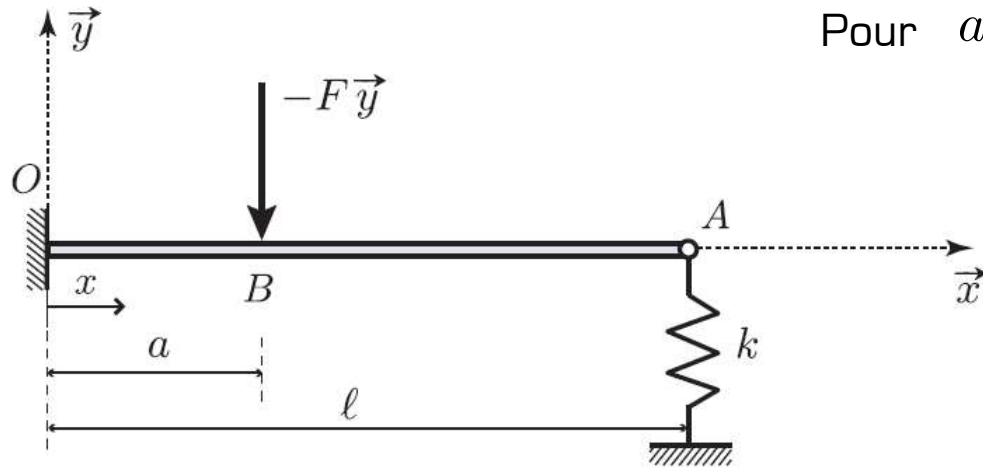
$$3 \text{ éq. } \left\{ \begin{array}{ll} \text{Sur } \underline{e}_x & M_{Ox} = 0 \\ \text{Sur } \underline{e}_y & M_{Oy} = 0 \\ \text{Sur } \underline{e}_z & M_{Oz} = -aF + R_A \ell \end{array} \right.$$

$$\underline{R}_O = [F - R_A] \underline{e}_y$$

$$\underline{M}_O = -[aF - R_A \ell] \underline{e}_z$$

$$\underline{R}_A = R_A \underline{e}_y$$

- **Équilibre local de la structure** (calcul des efforts de cohésion)



Pour $a < x < \ell$

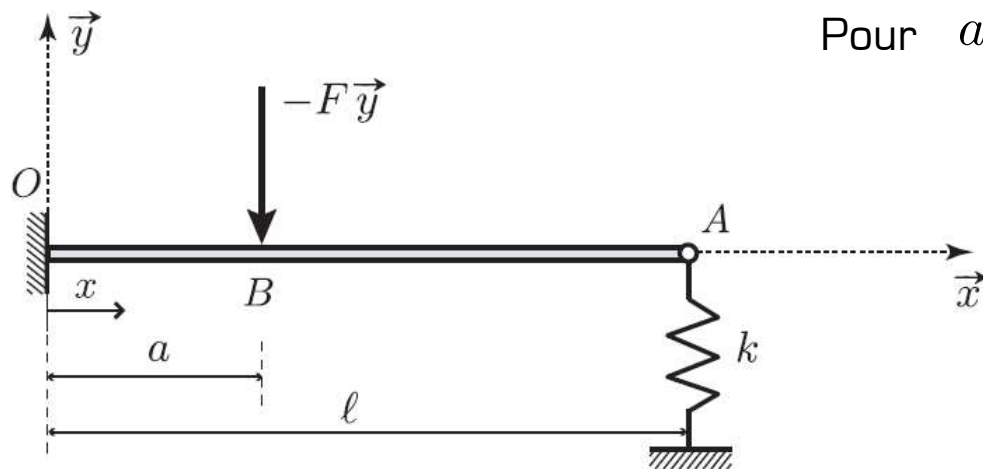
- *En efforts :*

$$\frac{d\underline{\mathcal{R}}}{dx} = \underline{0} \longrightarrow \underline{\mathcal{R}} = \underline{c_2}$$

$$\underline{\mathcal{R}}(x = \ell) = R_A \underline{e}_y \longrightarrow \underline{c_2} = R_A \underline{e}_y$$

$$\longrightarrow \boxed{\underline{\mathcal{R}}^{(2)} = R_A \underline{e}_y}$$

- **Équilibre local de la structure** (calcul des efforts de cohésion)



Pour $a < x < \ell$

- *En efforts :*

$$\frac{d\underline{\mathcal{R}}}{dx} = \underline{0} \longrightarrow \underline{\mathcal{R}} = \underline{c}_2$$

$$\underline{\mathcal{R}}(x = \ell) = R_A \underline{e}_y \longrightarrow \underline{c}_2 = R_A \underline{e}_y$$

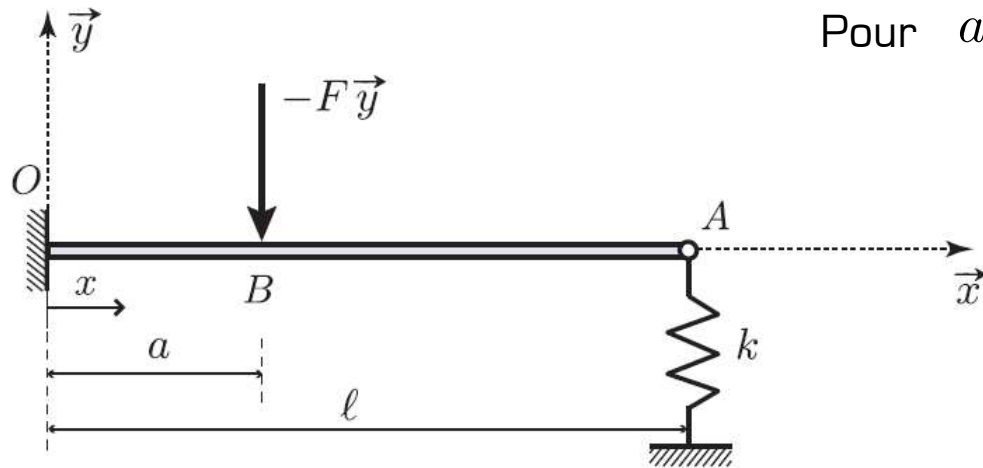
$$\longrightarrow \boxed{\underline{\mathcal{R}}^{(2)} = R_A \underline{e}_y}$$

- *En moments :*

$$\frac{d\underline{\mathcal{M}}}{dx} + \underline{e}_x \wedge \underline{\mathcal{R}} = \underline{0} \longrightarrow \frac{d\underline{\mathcal{M}}}{dx} = -R_A \underline{e}_z \longrightarrow \underline{\mathcal{M}} = -R_A x \underline{e}_z + \underline{k}_2$$

$$\underline{\mathcal{M}}(x = \ell) = \underline{0} \longrightarrow \boxed{\underline{\mathcal{M}}^{(2)}(x) = -R_A (x - \ell) \underline{e}_z}$$

- **Équilibre local de la structure** (calcul des efforts de cohésion)



Pour $a < x < \ell$

- *En efforts :*

$$\frac{d\underline{\mathcal{R}}}{dx} = \underline{0} \longrightarrow \underline{\mathcal{R}} = \underline{c}_2$$

$$\underline{\mathcal{R}}(x = \ell) = R_A \underline{e}_y \longrightarrow \underline{c}_2 = R_A \underline{e}_y$$

$$\longrightarrow \boxed{\underline{\mathcal{R}}^{(2)} = \textcolor{red}{R}_A \underline{e}_y}$$

- *En moments :*

$$\frac{d\underline{\mathcal{M}}}{dx} + \underline{e}_x \wedge \underline{\mathcal{R}} = \underline{0} \longrightarrow \frac{d\underline{\mathcal{M}}}{dx} = -R_A \underline{e}_z \longrightarrow \underline{\mathcal{M}} = -R_A x \underline{e}_z + \underline{k}_2$$

$$\underline{\mathcal{M}}(x = \ell) = \underline{0} \longrightarrow \boxed{\underline{\mathcal{M}}^{(2)}(x) = -\textcolor{red}{R}_A (x - \ell) \underline{e}_z}$$

Conditions de saut en $x = a$

$$[[\underline{\mathcal{R}}]](a) + (-F \underline{e}_y) = \underline{0}$$

$$\longrightarrow \underline{\mathcal{R}}^{(2)}(a) - \underline{\mathcal{R}}^{(1)}(a) = F \underline{e}_y$$

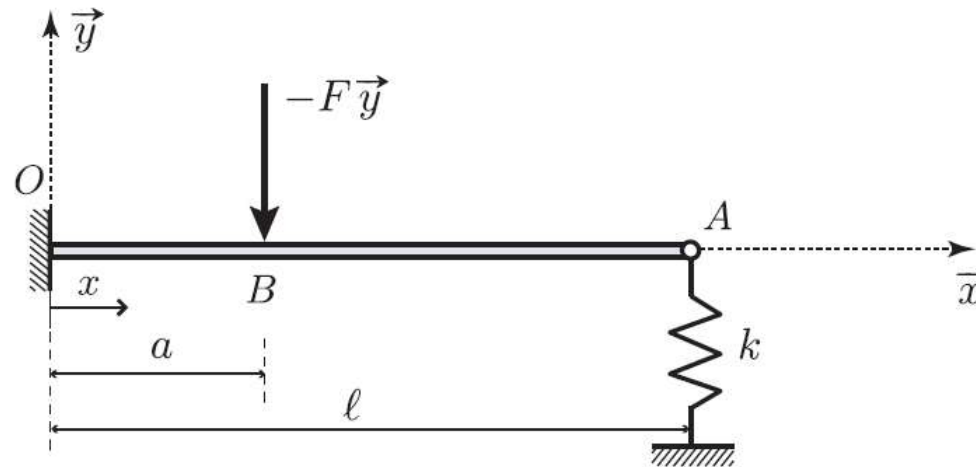
$$[[\underline{\mathcal{M}}]](a) = \underline{0}$$

$$\longrightarrow \underline{\mathcal{M}}^{(2)}(a) = \underline{\mathcal{M}}^{(1)}(a)$$

Pour $0 < x < a$

- En *efforts* : $\frac{d\underline{\mathcal{R}}}{dx} = \underline{0} \longrightarrow \underline{\mathcal{R}} = \underline{c_3}$

Condition de saut : $\underline{\mathcal{R}}^{(1)}(a) = (R_A - F)\underline{e}_y \longrightarrow \boxed{\underline{\mathcal{R}}^{(1)}(x) = [\textcolor{red}{R}_A - F] \underline{e}_y}$



Pour $0 < x < a$

- *En efforts* : $\frac{d\mathcal{R}}{dx} = \underline{0} \longrightarrow \mathcal{R} = \underline{c}_3$

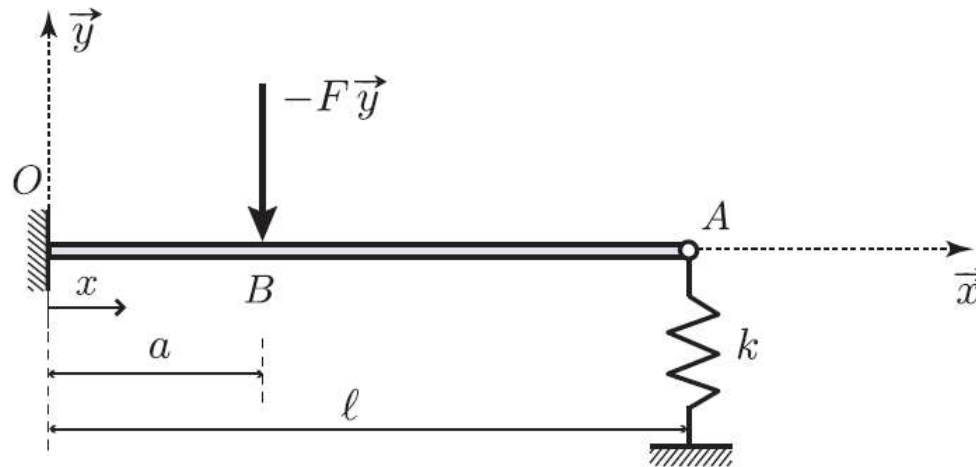
Condition de saut : $\mathcal{R}^{(1)}(a) = (R_A - F)\underline{e}_y \longrightarrow \boxed{\mathcal{R}^{(1)}(x) = [\textcolor{red}{R}_A - F] \underline{e}_y}$

- *En moments* :

$$\frac{d\mathcal{M}}{dx} + \underline{e}_x \wedge \mathcal{R} = \underline{0} \longrightarrow \frac{d\mathcal{M}}{dx} = [-R_A + F] \underline{e}_z \longrightarrow \mathcal{M}(x) = [F - R_A] x \underline{e}_z + \underline{k}_3$$

Condition de saut :

$$\mathcal{M}^{(1)}(a) = -R_A(a - \ell) \longrightarrow \boxed{\mathcal{M}^{(1)}(x) = [F(x - a) - \textcolor{red}{R}_A(x - \ell)] \underline{e}_z}$$



Équations de **Timoshenko** pour les poutres droites
[cours !] :

Lois de comportement:



$$N(x) = ES \varepsilon_x(x) = ES \frac{du_x}{dx}(x)$$

$$T_y(x) = \mu S \varepsilon_y(x) = \mu S \left(\frac{du_y}{dx}(x) - \omega_z(x) \right)$$

$$T_z(x) = \mu S \varepsilon_z(x) = \mu S \left(\frac{du_z}{dx}(x) + \omega_y(x) \right)$$

$$M_y(x) = EI_{Gy} \gamma_y(x) = EI_{Gy} \frac{d\omega_y}{dx}(x)$$

$$M_z(x) = EI_{Gz} \gamma_z(x) = EI_{Gz} \frac{d\omega_z}{dx}(x)$$

$$M_t(x) = \mu I_G \gamma_x(x) = \mu I_G \frac{d\omega_x}{dx}(x)$$

$$0 < x < a$$

Avec en plus

Euler Bernoulli :

$$[1] \quad 0 \underset{=N}{=} ES \frac{du_x}{dx}$$

$$[2] \quad 0 \underset{=T_y}{=} \mu S \left(\frac{du_y}{dx} - \omega_z \right)$$

$$\varepsilon_n(s) = \varepsilon_b(s) = 0$$

$$[3] \quad 0 \underset{=T_z}{=} \mu S \left(\frac{du_z}{dx} + \omega_y \right)$$

$$[4] \quad 0 \underset{=M_t}{=} \mu I_G \frac{d\omega_x}{dx}$$

$$[5] \quad 0 \underset{=M_y}{=} EI_{Gy} \frac{d\omega_y}{dx}$$

$$[6]$$

$$F(x-a) - R_A(x-\ell) \underset{=M_z}{=} EI_{Gz} \frac{d\omega_z}{dx}$$

Équations [1], [3], [4] et [5]+ Conditions aux limites d'encastrement :

$$\omega_x(x) = \omega_y(x) = 0, \quad u_x(x) = u_z(x) = 0$$

Équations [1], [3], [4] et [5]+ Conditions aux limites d'encastrement :

$$\omega_x(x) = \omega_y(x) = 0, \quad u_x(x) = u_z(x) = 0$$

En mettant l'équation [2] dans l'équations [6] :

$$EI_{Gz} \frac{d^2 u_y}{dx^2} = F(x - a) - R_A(x - \ell)$$

Équations [1], [3], [4] et [5]+ Conditions aux limites d'encastrement :

$$\omega_x(x) = \omega_y(x) = 0, \quad u_x(x) = u_z(x) = 0$$

En mettant l'équation [2] dans l'équations [6] :

$$EI_{Gz} \frac{d^2 u_y}{dx^2} = F(x - a) - R_A(x - \ell)$$

CL pour identif.
des cstes
d'intégration :

$$u_y(0) = 0$$

$$\frac{du_y}{dx}(x) = \frac{-R_A}{2EI_{Gz}} (x^2 - 2\ell x) + \frac{F}{2EI_{Gz}} (x^2 - 2ax)$$

$$\longrightarrow \boxed{\frac{du_y}{dx}(a) = \frac{-aR_A(a - 2\ell) - a^2 F}{2EI_{Gz}}}$$

Équations [1], [3], [4] et [5]+ Conditions aux limites d'encastrement :

$$\omega_x(x) = \omega_y(x) = 0, \quad u_x(x) = u_z(x) = 0$$

En mettant l'équation [2] dans l'équations [6] :

$$EI_{Gz} \frac{d^2 u_y}{dx^2} = F(x - a) - R_A(x - \ell)$$

CL pour identif.
des cstes
d'intégration :

$$u_y(0) = 0$$

$$\frac{du_y}{dx}(x) = \frac{-R_A}{2EI_{Gz}} (x^2 - 2\ell x) + \frac{F}{2EI_{Gz}} (x^2 - 2ax)$$

$$\longrightarrow \boxed{\frac{du_y}{dx}(a) = \frac{-aR_A(a - 2\ell) - a^2 F}{2EI_{Gz}}}$$

$$u_y(0) = 0$$

$$u_y(x) = \frac{-R_A}{6EI_{Gz}} (x^3 - 3\ell x^2) + \frac{F}{6EI_{Gz}} (x^3 - 3ax^2) \quad 0 \leq x \leq a$$

$$\longrightarrow \boxed{u_y(a) = \frac{-a^2 R_A(a - 3\ell) - 2a^3 F}{6EI_{Gz}}}$$

Équations de **Timoshenko** pour les poutres droites
[cours !] :

Lois de comportement:



$$N(x) = ES \varepsilon_x(x) = ES \frac{du_x}{dx}(x)$$

$$T_y(x) = \mu S \varepsilon_y(x) = \mu S \left(\frac{du_y}{dx}(x) - \omega_z(x) \right)$$

$$T_z(x) = \mu S \varepsilon_z(x) = \mu S \left(\frac{du_z}{dx}(x) + \omega_y(x) \right)$$

$$M_y(x) = EI_{Gy} \gamma_y(x) = EI_{Gy} \frac{d\omega_y}{dx}(x)$$

$$M_z(x) = EI_{Gz} \gamma_z(x) = EI_{Gz} \frac{d\omega_z}{dx}(x)$$

$$M_t(x) = \mu I_G \gamma_x(x) = \mu I_G \frac{d\omega_x}{dx}(x)$$

$$a < x < \ell$$

Avec en plus

Euler Bernoulli :

$$[1] \quad 0 \underset{=N}{=} ES \frac{du_x}{dx}$$

$$[2] \quad 0 \underset{=T_y}{=} \mu S \left(\frac{du_y}{dx} - \omega_z \right)$$

$$\varepsilon_n(s) = \varepsilon_b(s) = 0$$

$$[3] \quad 0 \underset{=T_z}{=} \mu S \left(\frac{du_z}{dx} + \omega_y \right)$$

$$[4] \quad 0 \underset{=M_t}{=} \mu I_G \frac{d\omega_x}{dx}$$

$$[5] \quad 0 \underset{=M_y}{=} EI_{Gy} \frac{d\omega_y}{dx}$$

$$[6] \quad -R_A(x - \ell) \underset{=M_z}{=} EI_{Gz} \frac{d\omega_z}{dx}$$

Équations [1], [3], [4] et [5]+ Conditions aux limites à l'extrémité droite (Hypothèse pas de déplacement suivant x et z):

$$\omega_x(x) = \omega_y(x) = 0, \quad u_x(x) = u_z(x) = 0$$

Équations (1), (3), (4) et (5)+ Conditions aux limites à l'extrémité droite (Hypothèse pas de déplacement suivant x et z):

$$\omega_x(x) = \omega_y(x) = 0, \quad u_x(x) = u_z(x) = 0$$

En mettant l'équation (2) dans l'équations (6) :

$$EI_{Gz} \frac{d^2 u_y}{dx^2} = -R_A(x - \ell).$$

Équations [1], [3], [4] et [5]+ Conditions aux limites à l'extrémité droite (Hypothèse pas de déplacement suivant x et z):

$$\omega_x(x) = \omega_y(x) = 0, \quad u_x(x) = u_z(x) = 0$$

En mettant l'équation [2] dans l'équations [6] :

$$EI_{Gz} \frac{d^2 u_y}{dx^2} = -R_A(x - \ell).$$

CL pour identif. des cstes
d'intégration :

$$\frac{d u_y}{dx}(a) = \frac{-a R_A(a - 2\ell) - a^2 F}{2EI_{Gz}}$$

$$\frac{d u_y}{dx}(x) = \frac{k u_y(\ell) (x^2 - 2\ell x) - a^2 F}{2EI_{Gz}}$$

Équations [1], [3], [4] et [5]+ Conditions aux limites à l'extrémité droite [Hypothèse pas de déplacement suivant x et z]:

$$\omega_x(x) = \omega_y(x) = 0, \quad u_x(x) = u_z(x) = 0$$

En mettant l'équation [2] dans l'équations [6] :

$$EI_{Gz} \frac{d^2 u_y}{dx^2} = -R_A(x - \ell).$$

CL pour identif. des cstes
d'intégration :

$$\frac{d u_y}{dx}(a) = \frac{-a R_A(a - 2\ell) - a^2 F}{2EI_{Gz}}$$

$$u_y(a) = \frac{-a^2 R_A(a - 3\ell) - 2a^3 F}{6EI_{Gz}}$$

$$\frac{d u_y}{dx}(x) = \frac{k u_y(\ell) (x^2 - 2\ell x) - a^2 F}{2EI_{Gz}}$$

$$u_y(x) = \frac{-R_A (x^3 - 3\ell x^2) - 3a^2 F x + a^3 F}{6EI_{Gz}}$$

$$u_y(x) = \frac{-R_A x^2 (x - 3\ell) + a^2 F (a - 3x)}{6EI_{Gz}}$$

Ici la **liaison n'est pas parfaite** au niveau du ressort qui emmagasine de l'énergie.

L'équation supplémentaire permettant de déterminer l'inconnue hyperstatique est ici la relation constitutive des ressorts $R_A = -ku_y(\ell)$

$$u_y(\ell) = \frac{-2\ell^3 ku_y(\ell) + a^2 F(a - 3\ell)}{6EI_{Gz}} \longrightarrow u_y(\ell) = -\frac{a^2 F(3\ell - a)}{6EI_{Gz} + 2\ell^3 k}$$

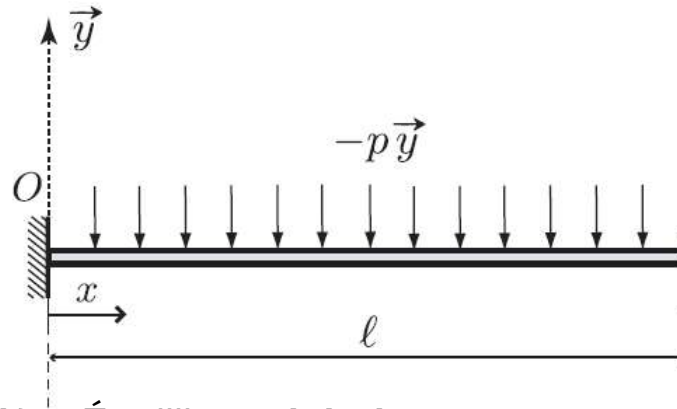
$$R_A = \frac{a^2 F(3\ell - a)}{6kEI_{Gz} + 2\ell^3 k^2}$$

À remplacer dans les équations :

- Des efforts de **liaison** : \underline{R}_O , \underline{M}_O , \underline{R}_A
- Des efforts de **cohésion** : $\underline{\mathcal{R}}$, $\underline{\mathcal{M}}$
- Des **déplacements** et **rotations** : \underline{u} , $\underline{\omega}$

Bilan sous forme de **méthode de résolution**

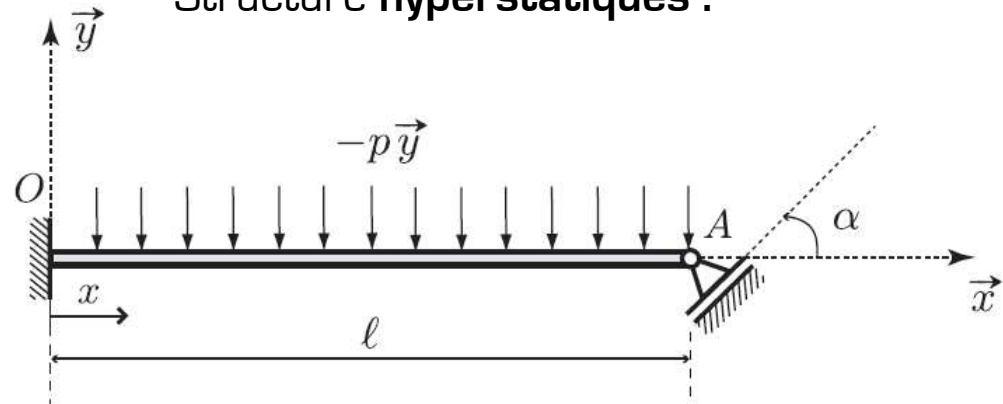
Structures **isostatiques** :



- 1) Équilibre **global**
→ Efforts de **liaison**
- 2) Équilibre **local**
(ou méthode des coupures)
→ Efforts de **cohésion**
- 3) Lois de **comportement**
(Timoshenko \pm Euler Bernoulli)
→ **Déplacements et rotations**

Toutes les grandeurs exprimées en fonction des **données du pb** [connues].

Structure **hyperstatiques** :



- 1) Équilibre **global**
→ Efforts de **liaison**
- 2) Équilibre **local**
(ou méthode des coupures)
→ Efforts de **cohésion**
- 3) Lois de **comportement**
(Timoshenko \pm Euler Bernoulli)
→ **Déplacements et rotations**

Toutes les grandeurs exprimées en fonction des **données du pb connues + de l'inconnue hyperstatique** choisie.

- 4) Équation de **liaison**
Identification de l'**inconnue hyperstatique**